

# Examen – Attaques sur carte à puce 2016-2017

Durée : 1h

Alberto Battistello

a.battistello@oberthur.com

## Exercice 1. Attaques Physiques.

L'implémentation des cryptosystems modernes demande une grande attention pour les protéger des attaques. Nous avons vu en cours que les données sensibles manipulées par les algorithmes comme AES, DES, RSA etc... peuvent être récupérées à partir d'attaques physiques sur les systèmes sur lesquelles ces algorithmes cryptographiques sont exécutés.

1. Expliquer la différence entre une attaque de cryptanalyse classique et une attaque physique. [0.25 pt]
2. Donner quelques exemples de modèles de faute utilisés dans les attaques par faute. [0.25 pt]
3. Nous avons vu en cours la DFA sur l'algorithme DES avec une faute sur l'entrée du dernier round (cf. Figure 1). Détailler le procédé qui permet de distinguer une bonne hypothèse de clef d'une mauvaise hypothèse de clef. [1 pt]

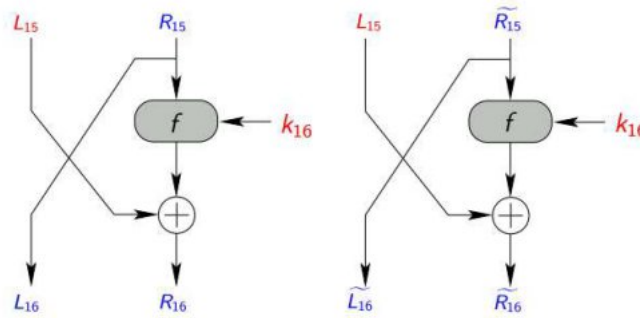


FIGURE 1 – DES avec et sans faute sur l'entrée du dernier round.

## Exercice 2. Algorithme RSA.

---

**Algorithm 1:** Montgomery Ladder

---

**Input** : Le message  $m$ , l'exposant privé  $d = (d_{n-1}, \dots, d_0)_2$  et le modulus  $N$

**Output:** La signature  $S = m^d \bmod N$

```
1  $R_0 \leftarrow 1$ ;  
2  $R_1 \leftarrow m$ ;  
3 for  $i \leftarrow n - 1$  to 0 do  
4   if  $d_i == 0$  then  
5      $R_1 \leftarrow R_0 R_1 \bmod N$ ;  $R_0 \leftarrow (R_0)^2 \bmod N$ ;  
6   if  $d_i == 1$  then  
7      $R_0 \leftarrow R_0 R_1 \bmod N$ ;  $R_1 \leftarrow (R_1)^2 \bmod N$ ;  
8 return  $R_0$ ;
```

---

---

**Algorithm 2:** Square-and-Multiply Always

---

**Input** : Le message  $m$ , l'exposant privé  $d = (d_{n-1}, \dots, d_0)_2$  et le modulus  $N$

**Output:** La signature  $S = m^d \bmod N$

```
1  $R_0 \leftarrow 1$ ;  
2 for  $i \leftarrow n - 1$  to 0 do  
3    $R_0 \leftarrow R_0^2 \bmod N$ ;  
4    $R_1 \leftarrow R_0 \cdot m \bmod N$ ;  
5    $R_0 \leftarrow R_{d_i}$ ;  
6 return  $R_0$ ;
```

---

1. Expliquer pourquoi utiliser l'algorithme *Square-and-Multiply Always* (cf. Alg. 2) pour calculer une signature RSA peut avantager un attaquant qui peut injecter des fautes perturbant le calcul d'une multiplication. Est-ce que l'algorithme *Montgomery Ladder* (cf. Alg. 1) a le même type de problème? [1 pt]

Nous avons vu en cours le cryptosystème CRT-RSA. Ce système permet d'améliorer les performances de l'algorithme RSA classique en utilisant les propriétés du théorème des restes chinois.

2. Rappeler le gain moyen en performances du CRT-RSA par rapport à un RSA classique et l'expliquer. [1 pt]
3. L'attaque "BELLCORE" que on a étudié en cours permet de retrouver l'un des facteur premier ( $p$  ou  $q$ ) du module  $n$  du RSA à partir des paramètres publics  $(n, e)$ , d'une signature valide  $S$  et d'une signature fautive  $\tilde{S}$ . Suggérer une adaptation de l'attaque dans le cas où l'attaquant ne connaît pas la valeur de la signature correcte  $S$  mais il connaît le message  $m$  qui a été signé, ainsi que les paramètres publics  $(n, e)$ , et la signature fautive  $\tilde{S}$ . [1 pt]

**Exercice 3.** Analyse side-channel et recombinaison CRT-RSA.

Pour récombinaison les deux sous-exponentiations modulaires  $(S_p, S_q)$  d'un CRT-RSA, une implémentation utilise la recombinaison de Garner, qui consiste à calculer la signature  $S$  comme :

$$S = S_q + q \cdot (i_q(S_p - S_q) \bmod p) ,$$

où  $i_q = q^{-1} \bmod p$ .

Un attaquant observe que :

$$\left\lfloor \frac{S}{q} \right\rfloor = i_q(S_p - S_q) \bmod p + \left\lfloor \frac{S_q}{q} \right\rfloor .$$

Étant  $S_q$  toujours plus petit que  $q$ , cela implique que  $\left\lfloor \frac{S_q}{q} \right\rfloor = 0$ . L'attaquant obtient donc l'équation suivante :

$$\left\lfloor \frac{S}{q} \right\rfloor = i_q(S_p - S_q) \bmod p .$$

Étant donné que la valeur  $i_q(S_p - S_q) \bmod p$  est manipulée pendant le calcul, et que  $S$  est connu par l'attaquant, expliquer comment l'attaquant peut exploiter cela avec une attaque par side-channel différentielle pour retrouver la valeur sensible  $q$ . [1.5 pt]